

دراسة التركيب النووي لنظير (^{184}Os) باستخدام نموذج البوزوونات المتفاعلة - 1

علي عبد أبو جاسم الحميداوي
مدرس مساعد / جامعة الكوفة/ كلية العلوم / قسم الفيزياء

الخلاصة :

تم في هذا البحث دراسة خصائص مستويات الطاقة لنظير ^{184}Os واحتمالية الانتقالات الكهربائية المختزلة B(E2) باستعمال نموذج البوزوونات المتفاعلة - 1 . كما وتم تحديد شكل النواة من خلال دراسة طاقة جهد السطح وحساب مربع الطاقة الدورانية وعزم القصور الذاتي . وفي هذا البحث تم تأكيد البرم والتماثل لبعض مستويات الطاقة غير المحددة عمليا ، حيث تم تحديد المستويات 1.6980 1.6132 MeV, 1.6315 MeV , MeV على التوالي. ووفق لنموذج (IBM-1) وجد إن النظير ^{184}Os ينتمي إلى المنطقة الانتقالية $\rightarrow \text{SU}(3) \rightarrow \text{O}(6)$.

A study of Nuclear Structure of Os^{184} Isotopes by the Interacting Boson Model-1

Ali Abid Abojassim Al-Hamadawy
assistance / Lecture/ Kufa Univ.Sci.Coll.Phys.Dep.

Abstract :

In this research , characteristics of energy levels and reduced electric transition for Os^{184} isotope have been studied using interacting boson model-1. Also , the nucleus shape was determined through studying potential energy surface ,the square of rotational energy and the moment of inertia were calculated. In the present research ,was averment the spin and parity for some energy levels which not determined practically , where the levels (1.6980 , 1.6315 , 1.6132) MeV with spin and parity (2^+_3 , 4^+_5 and 6^+_2)respectively .According to the (IBM-1) was found that Os^{184} isotope involved in transition region O(6) to SU(3).

المقدمة :

في عام 1974 اقترح Arima & Iachell [1] نموذجا نوويا استطاع من خلاله أن يصف خصائص مستويات الطاقة في النوى الزوجية -الزوجية ذات الأعداد الكتليلية المتوسطة والثقيلة بواسطة أزواج النيوكлонات خارج القشرة المغلقة التي تمت معالجتها كبوزوونات [2] بحيث لم يأخذ بنظر الاعتبار درجات الحرية لهذه البوزوونات وقد سمي بنموذج البوزوونات المتفاعلة الأول IBM-1 وقد تطور هذا النموذج بإدخال درجات الحرية للبوزوونات ونتيجة لها التعديل تم الكشف عن خصائص نوية جديدة للنوى وسمى بنموذج البوزوونات المتفاعلة الثاني IBM-2 [3].

وهناك عدت دراسات قام بها عد من العلماء المتخصصين في مجال دراسة الخواص النووية للنظائر وفيما يلي بعض هذه الدراسات المتعلقة بنظير (Os) :

في عام 1997 قام كل من C.Thwaites and A.M.Bruce [4] بإجراء دراسة عملية لقياس احتمالية الانتقال بين مستويات الطاقة الواطئة للنظيرين ^{187}Os ، ^{189}Os باستخدام حزمة من جسيمة ألفا ، وقارن النتائج مع مكان متوقعا من مخطط الانحلال للنظيرين.

وفي عام 1999 قام C.Fransen [5] بدراسة استطرارة الفوتونات عملياً لتحديد شكل النوى ^{192}Os ، ^{190}Os لدى من الطاقات اقل من $E\gamma < 4 \text{ MeV}$ وتحديد طاقات التهيج للمستويات الواطئة والزخم الذاتي واستطرارة الفوتون ومساحة المقطع العرضي للتفاعل للنوى الزوجية - الزوجية .

وفي عام 2003 قام كل من A.Bouldjad and M.L.Benabderahmane [6] بدراسة التماثل الدوراني للنظيرين ^{186}Os عند $n=104$ ، وأظهرت هذه الدراسة إن هذه النظائر تمثل إلى التحديد الدوراني بالاعتماد على قيم البيانات العملية أما التحليل النظري فوجد إنها تمثل إلى التناظر (O(6) و SU(3) باستخدام معلمات التماثل للبوزونات المتفاولة . أما في عام 2005 قام العالم Dewaled [7] بإجراء دراسة تتضمن دراسة احتمالية الانتقال للنظائر ^{176}Os ، ^{178}Os الزوجية - الزوجية و عزم رباعي القطب الكهربائي باستخدام نموذجي IBM و GCM .

وفي هذا البحث تمت دراسة نظير ^{184}Os وكانت الغاية من تلك الدراسة معرفة بعض الخصائص النووية لهذا النظير ، واستخدم نموذج البوزونات-1 IBM-1 لهذا الغرض ، حيث درست عن خصائص منها دراسة مستويات الطاقة و تحديد المعاملات المستعملة في هذا البرنامج ومقارنة النتائج النظرية مع النتائج العملية المتوفرة وحساب قيم معدلات الاحتمالات المختزلة (E₂) ومقارنتها مع النتائج العملية أن وجدت وتحديد البرم والتماثل لبعض مستويات الطاقة التي لم تحدد خواصها ولمعرفة فيما إذا كانت هناك مستويات جديدة لم تحدد في الدراسات العملية بالإضافة إلى دراسة طاقة جهد السطح V(β, γ) و دراسة الطاقة الدورانية $\omega^2 \hbar^2$ و عزم القصور الذاتي لكل نوية يساعد على التوصل إلى المفاهيم الأساسية للتركيب النووي.

نموذج البوزونات المتفاولة-1

أن نموذج البوزونات المتفاولة-1 لا يميز بين بوزونات البروتونات (s_n,d_n) وبوزونات النيوترونات (v_s,d_v) حيث يتم حساب عدد البوزونات بوصفها أزواجاً من الجسيمات (Particles Paier N_π(v) ,

البشرة التي تليها حيث يتم حساب البوزونات بعدها بوصفها أزواجاً من الفجوات (v_(π)) (Hole-Pairs) أما في حالة التمييز بين بوزونات البروتونات والنيوترونات فان النموذج المختص لمعالجتها يدعى بنموذج البوزونات المتفاولة-2 - IBM-2- [3] . في نموذج البوزونات المتفاولة-1 نجد أن بوزونات s و d يمكنها التفاعل فيما بينها ونتيجة لذلك فان الصيغة العامة للنظام الهمiltonي تكتب بعد تعريف مؤثرات الخلق (Creation Operators) (d,S[†]m) ومؤثرات الفناء (d,S[†]m) (Annihilation Operators) وعلى ما يأني: (S,dm) [8]

$$\begin{aligned}
 H = & \epsilon_s(S, S) + \epsilon_d \sum_m d_m^\dagger d_m + \sum_{L=0,2,4} \frac{1}{2} (2L+1)^{1/2} C_L \left[(d^\dagger d^\dagger)^{(L)} \cdot (dd)^{(L)} \right]^{(0)} \\
 & + \frac{1}{\sqrt{2}} v_2 \left[(d^\dagger d^\dagger)^{(2)} \cdot (ds)^{(2)} + (s^\dagger d^\dagger)^{(2)} \cdot (dd)^{(2)} \right]^{(0)} \\
 & + \frac{1}{2} v_o \left[(d^\dagger d^\dagger)^{(0)} (ss)^{(0)} + (s^\dagger s^\dagger)^{(0)} \cdot (dd)^{(0)} \right]^{(0)} \\
 & + u_2 \left[(d^\dagger s^\dagger)^{(2)} \cdot (ds)^{(2)} \right]^{(0)} + \frac{1}{2} u_o \left[(s^\dagger s^\dagger)^{(0)} \cdot (ss)^{(0)} \right]^{(0)} \dots \dots \dots (1)
 \end{aligned}$$

حيث أن (C_L(L=0,2,4) , V_L(L=0,2) , U_L(L=0,2) ، ϵ_s ، ϵ_d) تصف تفاعلاً للبوزونات بعضها مع بعض وتعتمد هذه المعاملات على عدد البوزونات N أما الأقواس فإنها تمثل الزخم الزاوي. وهناك عدة صيغ أخرى مكافئة للصيغة العامة لكتابه المؤثر الهمiltonي للطاقة حيث يمكن أعاده كتابة المعادلة (1) باستعمال صيغة التوسيع متعدد القطبية (Multiple Expansion) [8]

$$H = \epsilon_{nd} + \alpha_O P^2 + \alpha_1 L^2 + \alpha_2 Q^2 + \alpha_3 T_3^2 + \alpha_4 T_4^2 \dots \dots \dots (2)$$

حيث أن $\mathcal{E}_d - \mathcal{E}_s = \mathcal{E}$ تمثل طاقة البوزنات وللسهولة افترضت أن طاقة البوزنون S متساوية للصفر ولهذا فان $ed = e$ أما المعاملات a_0, a_1, a_2, a_3, a_4 فإنها تعبر عن قوة تفاعل الازدواج والزخم الزاوي ورباعي القطب وثماني القطب والقطب السادس عشر بين البوزنات وعلى التوالي .

تمتلك نوعي هذا الصنف خواص انتقالية بين التحديدين $(3, 0)$ و $(0, 6)$ تكون الصيغة الهمiltonية لها هي: [9]

$$H^{II-III} = a_0 p \cdot p + a_1 L \cdot L + a_2 O \cdot O. \dots \dots \dots \quad (1)$$

حيث أن خواص هذا الصنف تعتمد على النسبة $\frac{a_o}{a_2}$ فعندما تكون كبيرة فإنه يميل إلى التحديد (6) O وعندما تكون صغيرة يميل إلى التحديد . $SU(3)$

أما نسبة الانتقال الكهرومغناطيسي (R) لهذا الصنف فتأخذ قيماً متوسطة مابين $0=R/10$ للتحديد (6) و $7=R$ للتحديد (3). [9]

Potential Energy Surface

طاقة جهد السطح

يمكن الحصول على جهد السطح من مؤثر دالة هاملتون على اعتبار ان الطاقة هي دالة لكل من العدد الكلي للبوزونات N املي التشوه (β, γ) كما في المعادلة الآتية [10,9]

$$V(N, \beta, \gamma) = \frac{\langle N, \beta, \gamma | H | N, \beta, \gamma \rangle}{\langle N, \beta, \gamma | N, \beta, \gamma \rangle} \dots \quad (2)$$

وبالتالي معادلة طاقة جهد السطح $V(N, \beta, \gamma)$ بالنسبة إلى (β, γ) تحصل على المعادلة العامة الآلية [10,9]

$$V(N, \beta, \gamma) = \frac{N}{1 + \beta^2} (\varepsilon_s + \varepsilon_d \beta^2) + \frac{N(N-1)}{(1 + \beta^2)} (A_1 \beta^2 + A_2 \beta^3 \cos 3\gamma + A_3 \beta^2 + A_4) \dots \dots \dots (3)$$

حیث ان:

N تمثل عدد البوزنات الكلية.

β مقدار تشوّه النواة Magnitude of Nuclear Deformation , وتأخذ القييم (2.4-0) .

٧. زاوية عدم التنازق Asymmetry Angle وتتراوح قيمتها ($0^\circ - 60^\circ$) .

معاملات ترتبط مع دالة جهد السطح:

إن شكل النواة يتحدد بواسطة عامل التشوّه (β, γ) حيث تقترب قيمة β من الصفر للنوى الكروية Spherical Nuclei ، في حين إن قيمتها لا تساوي صفرًا للنوى المشوّهة Deformed Nuclei، وعندما تكون $\gamma = 0^\circ$ فان التشوّه يكون على شكل بيضوي متطاول Prolate Shape وعندما تكون $\gamma = 60^\circ$ فان التشوّه يكون على شكل بيضوي مفطاح Oblate Shape . الحركة الدورانية في النواة وعزم القصور الذاتي :

Rotational Motion in Nucleus and Moment of Inertia

تعتمد الحركة الدورانية الجماعية (Collective Rotation Motion) للنواة على حركة النيوكلونات المتكافئة مع حركة النواة مسببة دوران عدد من النيوكلونات حول محور يختلف عن محور التنازل النووي (Nuclear Symmetry Axis). إن

زيادة القوة الطاردة المركزية نتيجة لزيادة السرعة الزاوية للنواة (ω) تؤدي إلى تشوّه النواة [11] وهناك نوعان من التشوّه للنوى الدورانية ، النوع الأول يمثل التشوّه البيضوي المتطاول (Prolate Deformation) وفيه تدور النواة حول محور عمودي على محور التنازير النووي ، أما النوع الثاني فيمثل التشوّه البيضوي المفلطح (Oblate Deformation) وفيه تدور النواة حول محور موازي لمحور التنازير النووي [12]. وفي كلا النوعين عندما تكون الحركة الدورانية سريعة فإن هناك قوة تتشا تشى تسمى بقوة كوريوليس تحطم الأزواج (Pairing) الحاصل بين عدد من أزواج النيوكلونات متساوية في ظهور حزمة شبيه الجسيمات Two- (quasiparticles) أو الحزمة ذات الأشيه الأربع للجسيمات (Four-quasiparticles) متساوية شذوذًا عند زخوم زاوية معينة $L^\pi \geq 10^+$ في بعض النوى والتي تسبب ظاهرة (Back bending) [13]. ومن الممكن إيجاد عزم رباعي القطب الكهربائي الذاتي Q_0 بعد معرفة قيمة الاحتمالية من المعادلة الآتية [14]

$$B(E_2, L \rightarrow L-2) = \frac{5}{16\pi} \frac{3}{2} \frac{(L-1)}{(2L-1)(2L+1)} \frac{L}{e^2 Q_0^2(L \rightarrow L-2)} \dots \quad (4)$$

يمكن أيجاد عزم رباعي القطب الكهربائي الذاتي Q_0 من خلال العلاقة الآتية:[14]

[14] ولا يجاد مربع الطاقة الدورانية نطبق الصيغة الآتية:

أما عزم القصور الذاتي $\left(\frac{2V}{h^2}\right)$ فيحسب من المعادلة الآتية [14]:

Calculation

الحسابات:

إن مستويات الطاقة الواطئة موجبة التماثل (low-lying positive parity state) للنظير ^{184}Os و التي يقترب فيها عدد النبيوكлонات من منتصف القشرة الرئيسية (82-126) تعد من النوع ذات الخواص الجماعية (Collective Properties) و توصف بشكل عام بالتحديد الدوراني (SU(3)).

ان واحد من أهم المفاهيم في التركيب النووي هي مفهوم التنااظر (Symmetry) والذي يجب ان يحدد بشكل دقيق لما لشكل النواة من علاقة جوهرية مؤثرة في تحديد الصفات النووية كمستويات الطاقة واحتمالية الانتقالات الكهرومغناطيسية المختزلة ودالة جهد السطح و عزم القصور الذاتي و مربع الطاقة الدورانية .

حساب مستويات الطاقة واحتمالية الانتقالات الكهربائية المختلفة:

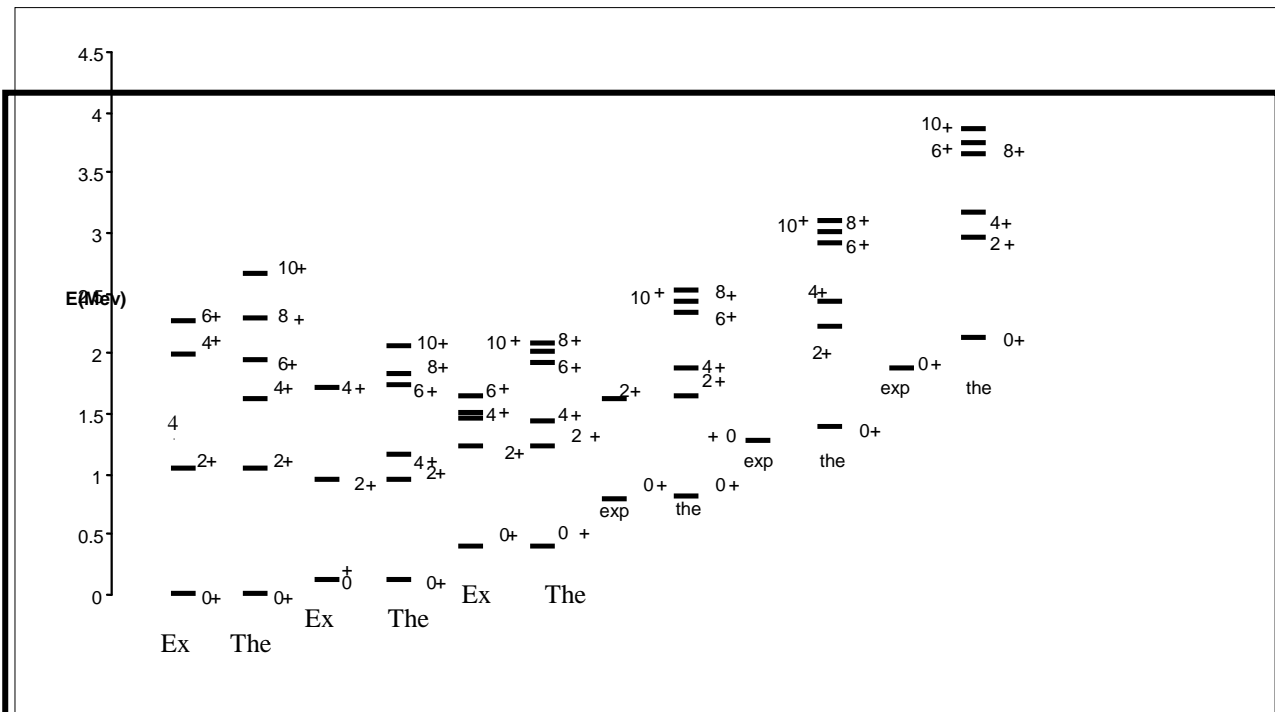
Calculation energy levels and reduced electric transition

أن مستويات الطاقة العملية لهذا النظير بينت الطبيعة الانتقالية بين $O(6) \rightarrow SU(3)$ لذا استعمل التحديدين $SU(3)$ و $O(6)$ لنموذج البوزونات المقاولة - 1 ، لوصف مستويات الطاقة لهذه النظير باستعمال برنامج IBM-Code . أن قيم المعاملات التي أعطت أفضل تطابق مع القيم العملية $[15, 16, 17, 18]$ كما مبينة في الجدول (1).

Table (1) parameters using in this program for calculation energy levels and $B(E_2)$ in ^{184}Os in MeV

isotope	Eps	P.P	L.L	Q.Q	T3.T3	T4.T4	CH ₁	E2SD	E2DD
^{184}Os	0	0.0188	0.0149	-0.0123	0	0	-1.3200	0.09378	-0.27743

اما القيم النظرية المستخرجة بواسطة نموذج (IBM-1) والعملية المتوفرة لكل من مستويات الطاقة الواطئة موضحة في الشكل (1) والذي هو عبارة عن مقارنة بين النتائج العملية والنظرية اما احتمالية الانقال بين المستويات فموضحة في الجدول (2).



شكل (1) مقارنة بين القيم العملية والنظرية لمستويات الطاقة الخاصة بالنظير ^{184}Os

Table (2) the vales of theoretical $B(E_2)$ in ^{184}Os by using (IBMT-1)Cood compared with the vales of experiential of $B(E_2)$

$i \rightarrow f$	$B(E_2) \downarrow e^2 b^2$ The.	$B(E^2) \downarrow e^2 b^2$ exp[14,19]
$2_1^+ \rightarrow 0_1^+$	0.5700	0.5700
$2_1^+ \rightarrow 0_2^+$	0.0325	-----
$2_2^+ \rightarrow 0_1^+$	0.0679	-----
$2_2^+ \rightarrow 0_2^+$	0.0019	-----
$2_3^+ \rightarrow 0_2^+$	0.4757	-----
$2_3^+ \rightarrow 0_3^+$	0.0047	-----
$2_4^+ \rightarrow 0_2^+$	0.001	-----
$2_4^+ \rightarrow 0_3^+$	0.2497	-----
$2_1^+ \rightarrow 2_3^+$	0.0403	-----
$4_1^+ \rightarrow 2_1^+$	0.7533	-----
$4_1^+ \rightarrow 2_2^+$	0.0013	-----
$4_1^+ \rightarrow 2_3^+$	0.0540	-----
$4_2^+ \rightarrow 2_1^+$	0.0320	-----
$4_2^+ \rightarrow 2_2^+$	0.2038	-----
$4_2^+ \rightarrow 2_3^+$	0.6149	-----

Calculation potential energy surface

حساب طاقة جهد السطح

إن الوصف الهندسي للحركة الجماعية للنواة يساعد في وصف المستويات المتهيجة للنوى المشوهه تعزيزا لسلوكها بدراسة عزم القصور الذاتي للحركة الجماعية للبوزونات .

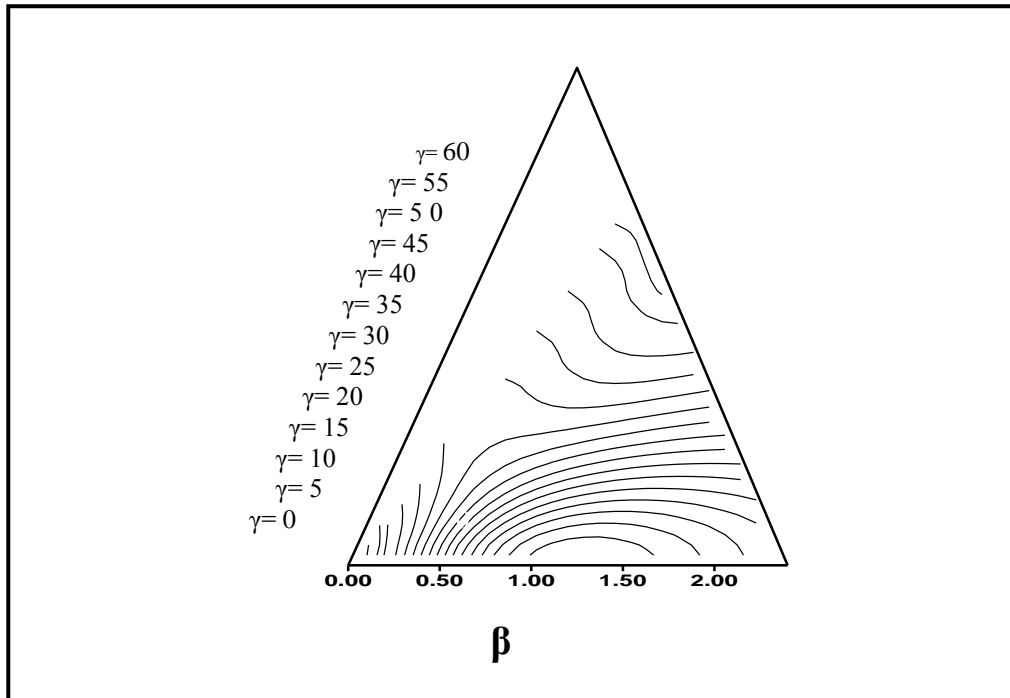
أن طاقة جهد السطح قد تم حسابها بعد تحديد معلمات (parameters) مؤثر دالة هاملتون لنظرير ^{184}Os وبيين الجدول (3) المعاملات المستعملة في برنامج حساب طاقة جهد السطح $V(\beta, \gamma)$.

Table (3) parameters using in this program for calculation potential energy surface for ^{184}Os in

MeV

isotope	A ₁	A ₂	A ₃	A ₄	ES	ED
^{184}Os	-0.001	-0.035	-0.059	0.000	-0.061	0.056

أن طاقة جهد السطح تعطي الشكل النهائي للنواة وهي تتوافق مع دالة هاملتون [20] بدالة المتغيرين (β, γ) وقد تم حساب طاقة جهد السطح باستعمال المعاملات المبينة في الجدول (3) باستعمال البرنامج IBM-1 والشكل (2) بيین العلاقة بين قيم (γ) و (β) و طاقة جهد السطح والتي تدل على إن هذا النظير ينتمي للتحديد الانتقالی $O(6) \& SU(3)$.



شكل (1) المخطط الكنتوري لطاقة جهد السطح لنظير ^{184}Os

حساب مربع الطاقة الدورانية و عزم القصور الذاتي :

Calculation the square of rotational energy and the moment of inertia

يمكن حساب كل من مربع الطاقة الدورانية و عزم القصور الذاتي من المعادلات (6,5) بعد تحديد قيم مستويات الطاقة باستعمال البرنامج (IBM-1) و قيم الزخم الزاوي L عند كل مستوى طاقة . والجدول (4) يوضح مقارنة بين القيمة العملية[14] والنظرية لمربع الطاقة الدورانية و عزم القصور الذاتي بوحدات (MeV).

جدول (4) قيم الانتقالات النظرية والعملية[14] و عزم القصور الذاتي و مربع الطاقة لنظير ^{184}Os .

$i \rightarrow f$	مربع الطاقة الدورانية ² (Mev)		عزم القصور الذاتي (MeV ⁻¹)	
	The.	Exp. [14]	The.	Exp. [14]
$2^+ \rightarrow 0^+$	0.004458	0.004784	51.88516	50.08347
$4^+ \rightarrow 2^+$	0.039433	0.03908	36.31365	36.47733
$6^+ \rightarrow 4^+$	0.168017	0.153562	27.16653	28.41643
$8^+ \rightarrow 6^+$	0.488564	0.41396	21.60263	23.46867
$10^+ \rightarrow 8^+$	1.135664	0.881867	17.90299	20.31651

Results and Discussion

النتائج والمناقشة

إن نواة Os^{184} تتتألف من (76) بروتوناً منها (26) بروتوناً خارج القشرة المغلقة (50) و(108) نيوترون. وحيث إن عدد البروتونات أكثر من عدد نصف الغلاف الرئيسي (66) فإن عدد بورونات البروتونات تحسب من عدد الفجوات (hole) وليس من عدد الجسيمات (particle) حتى الوصول إلى القشرة المغلقة الرئيسية (82). أما بالنسبة لعدد النيوترونات فيقع بين منتصف القشرتين المغلقتين (82-126) حيث أن عدد نصف الغلاف الرئيسي هو (104) ومن خلال هذا الرقم يتبيّن أن عدد بوزونات النيوترونات يحسب من عدد الجسيمات باستثناء النويتين الأخيرتين يحسب من عدد الفجوات (hole) ولهذا فإن العدد الكلي للبوزونات سيكون مساوياً لـ(12) بوزوناً وعلى التوالي.

Energy Levels

مستويات الطاقة

عند الرجوع إلى مخططات الانحلال لنظرائر ^{184}Os لوحظ من خلال نسب مستويات الطاقة الأخرى

بعد مقارنتها مع القيم النموذجية [24,8] أعطيت اقتراباً جيداً إلى التحديد $O(6)$, $SU(3)$.

احتمالية الانتقالات الكهربائية المختزلة (E2)

Reduced electric transitions probability B(E2)

لقد تم استخدام البرنامج (IBMT-Code) لدراسة احتمالية الانتقالات الكهربائية المختزلة \downarrow (E2) B وذلك بعد ولاعتماد على حساب قيم المعاملات (E2SD&E2DD) والمبنية في الجدول (1) حيث اعطت هذه المعاملات بعد تطبيقها بالبرنامج المذكور تطابقاً جيداً مع ما متوفّر من القيم العملية وكما هو واضح في الجدول (3) إذ يبيّن مقارنة بين القيم العملية والنظرية لنظير ^{184}Os وان هذه النتائج بينت الخاصية الانتقالية لهذه النوى من خلال الصفات المعروفة للتحديدين (6) O و(3) SU .

potential Energy surface

طاقة حهد السطح

إن دراسة جهد السطح لهذا النظير والحصول على قيم (β , γ) ورسم الشكل الكنتوري و المبينة في الشكل (2) يتضح أن هذه النواة انتقالية بين التحدي—دين (6) O و(3) SU لتوافقها مع الأشكال النموذجية للتحديدين ، حيث تم رسم طاقة جهد السطح كدالة لمعامل التشوه ($\beta=0...2.4$) وقد تم حساب طاقة جهد السطح بلاعتماد على قيم المعلمات المبينة في الجدول (3).

الحركة الدورانية في النواة وعزم القصور الذاتي :

Rotational Motion in the Nucleus and Moment of Inertia

أن الحركة الدورانية تؤدي إلى تكوين تشوہ رباعي قطب كبير للحالات المتهيجۃ الواطئة للنوى وان الدوران يجب أن لا يكون دوران جسم صلـد فـان السطح الكروي للنواة سوف يدور و المستويات المدارية لجميع النيوکلونات تدور أيضاً.أذ أن عدداً كبيراً من

مستويات الطاقة النووية قد تم تمييزها على إنها مستويات دورانية ، وذلك لأنها تعطي أطياقا قريبة من الطيف النموذجي للتحديد الدوراني ، وفي جميع الحالات فإنه قد وجد أن عزم القصور الذاتي والذي يجب استخدامه للحصول على اتفاق مع النتائج العملية هو أقل من عزم القصور الذاتي للجسم الصلب بمعامل 2 إلى 4 حيث أن النيوكلونات تجرف مع السطح في أثناء الحركة الدورانية وقد وجد عملياً أن عزم القصور الذاتي يزداد بزيادة ثابت التشوه β [25] ويوضح الجدول (4) مقارنة بين النتائج النظرية والعملية المتوفرة لعزم القصور الذاتي ومربع الطاقة الدورانية ولكن هناك فرقاً تكاريياً يزداد بزيادة طاقة التهيج وهذا الفرق يمكن تفسيره على أنه ناتج عن زيادة عزم القصور الذاتي بزيادة الزخم الزاوي للدوران ، وذلك بتأثير القوة الطاردة المركزية.

References:

- 1- F. Iachello, and A. Arima, Phys. , Lett. B53, 309, (1974)
- 2- A. Arima, T. Otsuka, F. Iachello, and I. Talmi, Phys. , Lett. B66, 205, (1977)
- 3- R. F. Casten, A. Gelberg and P. Von Brentano, Phys. Rev. C36, 1225, (1987)
- 4- C.Thwaites and A.M.Bruce , phys.Rev.C. Vol.56 , P.1438 , (1997).
- 5- C.Fransen , phys.Rev.C. Vol.59 , P.2265 , (1999).
- 6- A.Bouldjed and M.L.Benabderrahmane , Nucl.Part.phys.Vol.29 , P.1327 , (2003)
- 7- Dewaled , Nucl.Part.phys.Vol.31 , P.S₁ 1427 , (2005).
- 8- R. Casten and D. Warner , Rev. Mod. Phys. , 60 , 389 , (1988)
- 9- F. Iachello and A. Arima , The Interacting boson Model , Cambridge University Press , Cambridge , (1987)
- 10- D.Bondatsos, "Interacting Boson Models of Nuclear Structure", Ed. David , Stanford , Pub. In the United State , By Oxford University Press , New York , (1988).
- 11- L. E. H. Trainer , and R. K. Gupta , J. Phys. , Vol. 49 , 133 , (1971).
- 12- K. S. Krane , "Introductory Nuclear Physics", Ed. Halliday , D. Pub. John. wiley, P142-145 , (1987).
- 13- B. L. Birbrair , Phys. Lett. b , Vol. 39, 489, (1972).
- 14- Ts.Venkova and W. Andrejtscheff , Atomic Data and Nuclear Data Tables , vol. 26 , 95 , (1981).
- 15- C. Leclerecl and V. Shirly, Table of Isotopes , Wiley , New York , (1978).
- 16- A. E. Ignatochkin , E. N. Shurshikov and Yu. F. Jaborov , Nuclear Data Sheets , Vol. 52 , No. 2 , P. 365 , (1987).
- 17- Zhou Chunmei , Nuclear Data Sheets , Vol. 50 , No. 2 , P. 351 , (1987).
- 18- E. Browne , Nuclear Data Sheets , Vol. 52 , No. 1 , P. 127 , (1987).
- 19- S. Raman et al , Atomic Data and Nuclear Data Tables , Vol. 36 , No. 1 , 7 , (1987).
- 20- W. D. Hamilton , The Electromagnetic Interaction in Nuclear Spectroscopy , American Elsevier Publishing Company , New York , (1975).
- 21- A. Abdul Ameer , Investigations of Nuclear Energy Levels in ⁸²Kr , ⁷⁶Se and ¹⁹⁴Pt , Ph. D Thesis , London University , (1991)
- 22- J.Lee , Phys., Rev , C , 58 , 2061 , (1998) .
- 23- J.Lee , Phys., Rev , C , 58 , 63 , 1 , (2001).
- 24- M. Kadem Al-Janaby, A study of nuclear Structure of ⁹⁸⁻¹⁰⁸Ru even-even Isotopes by the IBM-1 , M. Sc. Thesis , Babylon University , (2005).
- 25- A. N. K , "Introduction of Nuclear Physics", Mousel Univ. , (1986).